

Investigaciones arqueológicas en Tell el-Far'a, Palestina. Informe preliminar de la segunda campaña (2018)

Archaeological Researches in Tell el-Far'a, Palestine. Preliminary Report of the Second Season (2018)

Juan-Luis Montero Fenollós – Universidade da Coruña
Francisco Caramelo – Universidade NOVA de Lisboa
Jehad Yasin – Department of Antiquities and Culture Heritage, Palestine
Sufyan Dias – Department of Antiquities and Culture Heritage, Palestine
Jorge Sanjurjo Sánchez – Universidade da Coruña

[La segunda campaña arqueológica en Tell el-Far'a, llevada a cabo en octubre de 2018, ha aportado nuevos datos sobre la fase del Hierro IIA, en particular, las primeras dataciones absolutas del yacimiento. La investigación de campo se ha completado con una prospección selectiva en el Wadi el-Far'a.]

Palabras clave: Palestina, Edad del Hierro II, Datación absoluta, Prospección.

[The second archaeological season in Tell el-Far'a, carried out in October 2018, has allowed to provide new data on the Iron IIA phase, in particular, the first absolute dates of the site. The field research has been completed with a selective survey in the Wadi el-Far'a.]

Keywords: Palestine, Iron Age II, Absolute dates, Survey.

Tell el-Far'a, situado a 11 km al noreste de la ciudad de Nablus, en las montañas centrales de Palestina (Samaría), fue excavado por la *École biblique et archéologique française* entre 1946 y 1960, a lo largo de nueve campañas, bajo la dirección de Roland de Vaux.¹ Después de un largo período de abandono, el yacimiento es objeto de un nuevo proyecto de investigación por parte de un equipo internacional en el que participan las Universidades de A Coruña y NOVA de Lisboa, así como el Ministerio de Turismo y de Antigüedades de Palestina, través del Departamento de Antigüedades y Patrimonio Cultural. En 2017, se llevó a cabo la primera campaña de campo.² En octubre de 2018, tuvo lugar la segunda campaña con los siguientes objetivos:³

1. De Vaux 1956 y 1976. Véase también los informes publicados en la *Revue Biblique* entre los años 1947 y 1961.

2. Montero Fenollós, Caramelo, Yasin, Dias 2019.

3. La campaña fue financiada por la Fundación Palarq, de Barcelona; el CHAM-Centro de Humanidades de la Universidade NOVA de Lisboa; y el grupo de investigación CulXeo, de la Universidade da Coruña. Manifestamos nuestro agradecimiento a todas estas entidades. De igual manera, el proyecto desea expresar su gratitud a la

1. Estudio de la arquitectura, urbanismo y cultura material, correspondientes a la Edad del Hierro II;
2. Definición de una nueva secuencia estratigráfica y de una cronología absoluta del yacimiento en lo referente a la ocupación del Hierro, puesto que no se disponía de dataciones absolutas para este yacimiento de referencia dentro de la arqueología de la región;
3. Prospección arqueológica a lo largo del Wadi el-Fa'ra con el objetivo de conocer la ocupación del territorio y su posible conexión con Tell el-Far'a entre los períodos que van del Calcolítico a la Edad del Hierro.

1. Excavación arqueológica

Durante la segunda campaña, los trabajos de excavación se concentraron en el sector occidental del yacimiento. El sondeo realizado en 2017 se amplió hasta alcanzar una superficie de 16 por 6 m (fig. 1 y 2), dividida en tres sectores: sondeo A (6 x 6 m); sondeo A1 (7 x 6 m); y sondeo A2 (3 x 6 m). Los trabajos realizados han permitido identificar tres grandes unidades estratigráficas (fig. 3), a las que se han asociado en el transcurso de la excavación diversos elementos arquitectónicos, constructivos y urbanísticos (fig. 4 y 5):

- UC. 109: pavimento de piedras planas de diferentes tamaños; longitud excavada: 6 m; ancho conservado: 2,50 m;
- UC. 110: pavimento de piedras planas de diversos tamaños, con enlucido de yeso; este pavimento se encuentra inmediatamente por debajo de la UC. 109; la excavación completa de esta UC ha quedado pendiente para la próxima campaña;
- UC. 111: muro de piedras sin tallar, dispuestas de forma transversal (a tizón) y unidas con adobe y piedras de pequeño tamaño colocadas a modo de cuña; longitud excavada: 6,10 m; ancho: 0,35-0,45 m; altura conservada: 0,75-0,90 m;
- UC. 112: muro de piedras sin tallar, dispuestas de forma transversal (a tizón) y unidas con adobe y piedras de pequeño tamaño colocadas a modo de cuña; longitud excavada: 6,50 m; ancho: 0,38-0,42 m; altura conservada: 0,50-0,60 m; este muro hace ángulo recto con la UC. 111;
- UC. 113: muro de piedras parcialmente excavado debido a que se adentra en el perfil sur del sondeo; longitud excavada: 2,20 m; altura conservada: 0,45 m;
- UC. 114: pavimento de piedras planas de diferentes tamaños; longitud: 2,10 m; ancho excavado: 2 m;
- UC. 115: fragmento de muro mal conservado, formado por piedras grandes en las dos caras y relleno de pequeñas piedras en el interior; longitud conservada: 1 m; ancho: 0,80 m;
- UC. 116: dos hornos de pan (*tannur* en árabe), fabricados con adobe y cerámica, parcialmente conservados; diámetro: 0,50 m; altura conservada: 0,17-0,33 m; están situados junto al muro UC. 117;
- UC. 117: muro de piedra mal conservado que hace ángulo con UC. 107; longitud conservada: 0,58 m; ancho: 0,40 m; altura conservada: 0,30 m;
- UC. 118: tramo de una calle de tierra de la que se ha excavado una longitud de 10,60 m; ancho: 1,83-1,90 m;

municipalidad de Wadi el-Far'a, al Centro Deportivo y de la Juventud de Far'a y al Instituto de Estudios Bíblicos y Arqueológicos (Casa de Santiago) de Jerusalén, por su apoyo y colaboración durante la campaña.

2. *Dataciones absolutas*

Sobre el suelo UC.114, perteneciente a la fase TEF 3 (fase VIIIb de Chambon),⁴ se tomaron 3 muestras de carbones para datación por radiocarbono AMS.⁵ Los resultados de las dataciones con las calibraciones individuales correspondientes e intervalos de confianza 1 σ y 2 σ se exponen en la tabla 1. Las calibraciones fueron obtenidas usando la curva de Reimer *et al.* (2013).

Muestra	Lab Code	Edad ¹⁴ C	Calib 1 σ BCE	Calib 2 σ BCE
M6	18C/1267	2840 \pm 30	990 \pm 54	1013 \pm 96
<i>Como rango</i>			1043-936	1108-917
M5	18C/1266	2780 \pm 30	938 \pm 42	924 \pm 80
<i>Como rango</i>			980-896	1004-844
M4	18C/1265	2910 \pm 30	1117 \pm 72	1110 \pm 99
<i>Como rango</i>			1188-1045	1209-1011

Tabla 1. Edades calibradas individualmente.

Las edades calibradas proporcionan rangos de edad que se solapan considerando el rango 2 σ para M5 y M6, y también para M6 y M4, pero no para para M4 y M5; las edades son significativamente coherentes en los dos primeros casos, no así en el último. Esta divergencia entre las edades M4 y M5 puede deberse a dos razones: (a) la madera de la que procede el carbón de la muestra M4 es más antigua que la de las otras dos muestras de carbón, (b) que la secuencia de ocupación es larga y asignable a todo el rango de edades obtenido. Con los datos actuales existen tres posibles interpretaciones. La primera consiste en considerar solamente la edad más reciente, es decir, la de M4. La segunda es utilizar la edad correspondiente a la media ponderada de las tres muestras. En esta media ponderada, la edad obtenida sería coherente con los tres rangos de edad individuales de las muestras. La tercera opción es aplicar un modelo bayesiano. En este caso, se utiliza Oxcal 4.1.⁶ El resultado de este modelo (tabla 2) proporciona una edad consistente con todas las dataciones y un resultado similar al utilizar la media ponderada.

Intervalo	Calib 1 σ BCE	Calib 2 σ BCE
Media ponderada	985 \pm 30	1002 \pm 52
<i>Rango</i>	1016-955	1054-950
Edad más reciente	938 \pm 42	924 \pm 80
<i>Rango</i>	980-896	1004-844
Modelo Bayesiano	987 \pm 44	990 \pm 65
<i>Rango</i>	1030-943	1055-926

Tabla 2. Estimación de edad media a partir de edades calibradas.

4. Véase la tabla 4.

5. Las muestras fueron enviadas a ICA (*International Chemical Analysis Inc.*) para su datación.

6. Bronk Ramsey y Lee 2013.

Aunque coherentes, las tres posibles interpretaciones que se pueden ver en la tabla 2 ofrecen resultados distintos, residiendo la diferencia en la amplitud del intervalo. En cualquier caso, se trata de las primeras fechas absolutas de las que disponemos de Tell el-Far'a, que es necesario poner en valor y comparar con los datos publicados hasta la fecha para este yacimiento palestino. Todos los planteamientos sobre la cronología de Tell el-Far'a han tenido como base el estudio de la cerámica y el establecimiento de paralelos tipológicos con otros yacimientos excavados en la región.

Si tenemos en cuenta la primera interpretación de la tabla 2 (media ponderada de las tres muestras), los rangos de edad obtenidos (rango 2σ 1054-950 BCE) no son coherentes con las edades propuestas por Herzog y Singer-Avitz para la fase VIIb de Tell el-Far'a (ca. 900-840/830 a.C.),⁷ pero tampoco con la cronología apuntada por Finkelstein (ca. 870-segunda mitad del siglo IX a.C.)⁸. Por el contrario, sí concuerda con la datación sugerida por el arqueólogo francés Chambon: siglos (XI)-X a.C.⁹ Si aplicamos el modelo bayesiano para realizar la calibración conjunta de las edades (rango 2σ 1055-926 BCE), habría un cierto solapamiento con el rango propuesto tanto por Herzog y Singer-Avitz como por Finkelstein para la fase VIIa de Tell el-Far'a, pero no para la fase VIIb. Si simplemente consideramos la edad más reciente (1004-844 BCE), los datos serían coherentes con las propuestas de Chambon, Herzog y Singer-Avitz, y Finkelstein para las dos fases (VIIa y VIIb).

Fases Far'a	Chambon (1984)	Herzog y Singer-Avitz (2006)	Finkelstein (2012)	Bayesiana (2019)	Más reciente (2019)	Media ponderada (2019)
VIIa	ss. XII-XI a.C.	950-900 a.C.	Segunda mitad del siglo X- inicios del siglo IX a.C.	-	-	
VIIb	ss. (XI)-X a.C.	900-840/830 a.C.	870-segunda mitad del siglo IX a.C.	1030-943	980-896	1016-955

Tabla 3. Intervalos cronológicos para las fases VIIa y VIIb de Tell el-Far'a, propuestos por diferentes autores y comparados con los datos obtenidos por AMS en este estudio (1σ).

La cuestión de la cronología absoluta de la Edad del Hierro en la región israelo-palestina ha sido objeto de un amplio estudio y debate entre los defensores de la cronología baja y alta.¹⁰ Entre las propuestas correspondientes a la llamada “Cronología Baja”, como las de Finkelstein, estudiadas en detalle por Gilboa y Sharon,¹¹ no encajan con las edades obtenidas para la fase VIIb (nuestra fase 3) de Tell el-Far'a. Acerca de esta cronología, Mazar y Bronk Ramsey¹² concluyeron que era cuestionable y que era necesaria una revisión completa, ya que debido a la escasa duración

7. Herzog y Singer-Avitz 2006.

8. Finkelstein 2012: 334.

9. Chambon 1984: 12.

10. Mazar (2005) es el principal defensor de la “High Chronology”, mientras que Finkelstein (1996) es considerado el arquitecto de la “Low Chronology”.

11. Gilboa y Sharon 2001 y 2003.

12. Mazar y Bronk Ramsey 2008.

de las fases se observaba que el modelo cronológico dependía enormemente de que unas pocas edades fuesen consideradas o no *outliers*.

3. Prospección arqueológica

El inicio de una prospección a pie en la región situada lo largo del Wadi el-Far'a ha sido uno de los objetivos de esta campaña (fig. 6). Desde el punto de vista geológico, este *wadi* es parte de la gran región del Rift del mar Muerto. Su longitud, inclinación moderada, fértil suelo y clima mediterráneo semiárido hacen que las tierras circundantes sean unas de las más ricas y mejor irrigadas de la región.¹³ Recorre una distancia de 35 km entre 'Ain el-Far'a y el río Jordán, cerca de Yisr Damaniya. El Wadi el-Far'a era también una importante vía de comunicación en la Antigüedad, ya que conectaba Tell Balata (antigua Siquem, en Nablus) con Tell el-Far'a (posiblemente la antigua Tirsá)¹⁴ y el valle del Jordán.¹⁵

Para la planificación de la prospección arqueológica, de carácter selectivo, se han tenido en cuenta los trabajos previos llevados a cabo por exploradores de finales del siglo XIX,¹⁶ los mapas del *Department of Lands and Surveys of Palestine*,¹⁷ así como las investigaciones más recientes de dos equipos de arqueólogos israelíes¹⁸ y del proyecto Wadi Far'a, realizado bajo la cooperación de la Universidad de Birzeit y el Calvin College (Michigan).¹⁹

En esta campaña, se han prospectado un total de seis yacimientos (dos situados en la ribera oriental y cuatro en la occidental del Wadi el-Far'a). De cada uno de ellos, se ha elaborado una ficha descriptiva estandarizada, se han recogido materiales arqueológicos (sobre todo fragmentos de cerámica) para su estudio y dibujo, y se han realizado fotografías de los restos constructivos visibles con la ayuda de un dron. Los yacimientos visitados en esta primera fase de la prospección han sido los siguientes:

- *Khirbet Sumeit (A)*.

Situación geográfica: ribera oriental.

Distancia a Tell el-Far'a: 1,9 km.

Dimensiones aproximadas: 200 por 200 m.

Estado de conservación: ausencia de excavaciones clandestinas.

Vestigios visibles: edificio rectangular y cubierta abovedada. Hipogeos, pozos, fosas y muros de aparejo mediano y grande de piedra.

Materiales arqueológicos: cerámica, vidrio y teselas.

Datación provisional: Bizantino, Islámico.

Otras prospecciones: Guérin (1874: 261), Conder, Kitchener (1882: 240), Knierim (1969: nº 2), Zertal (2008: nº 153).

13. Sharkas *et al.* 2005.

14. Albright 1931.

15. Zertal 2008: 27-28, ha identificado la ruta del Wadi el-Far'a con el "camino del poniente" citado en Deuteronomio 11: 30.

16. Guérin 1874; Conder y Kitchener 1882.

17. Compiled, drawn and printed under the direction of F. J. Salmon, Commissioner for Lands and Surveys, Palestine, 1935.

18. Kochavi ed. 1972; Zertal 2008.

19. Abdulfattah y De Vries 2005.

- *Khirbet Sumeit (B)*.

Situación geográfica: ribera oriental.

Distancia a Tell el-Far'a: 1,9 km.

Dimensiones aproximadas: 150 por 150 m.

Estado de conservación: excavaciones clandestinas.

Vestigios visibles: muros de piedra de diverso tipo y cuevas identificadas como tumbas.

Materiales arqueológicos: cerámica.

Datación provisional: Calcolítico, Bronce Medio.

Otras prospecciones: Guérin (1874: 261), Conder, Kitchener (1882: 240), Knierim (1969: nº 2), Zertal (2008: nº 155).

- *Khirbet es-Sirb*.

Situación geográfica: ribera occidental.

Distancia a Tell el-Far'a: 2,9 km.

Dimensiones aproximadas: 70 por 70 m.

Estado de conservación: construcciones modernas y cementerio islámico en uso.

Vestigios visibles: edificio rectangular y una gran cueva.

Materiales arqueológicos: cerámica.

Datación provisional: Romano, Bizantino, Islámico.

Otras prospecciones: Conder, Kitchener (1882: 240), Kappus (1966: 78), Kallai (1972: 164), Zertal (2008: nº 157).

- *Khirbet Beit Far (B)*.

Situación geográfica: ribera occidental.

Distancia a Tell el-Far'a: 6 km.

Dimensiones aproximadas: 500 por 300 m.

Estado de conservación: hay tumbas expoliadas.

Vestigios visibles: edificio de piedra abovedado, necrópolis de hipogeos y restos de muros de piedra de aparejo mediano pertenecientes a un hábitat.

Materiales arqueológicos: cerámica y vidrio.

Datación provisional: Romano, Bizantino, Islámico.

Otras prospecciones: Conder, Kitchener (1882: 237), Kappus (1966: 79), Zertal (2008: nº 168).

- *Khirbet Tell el-Fukhar*.

Situación geográfica: ribera occidental.

Distancia a Tell el-Far'a: 7,3 km.

Dimensiones aproximadas: 200 por 100 m.

Estado de conservación: expolio de tumbas.

Vestigios visibles: muros de piedra de aparejo mediano y grande. Posibles tumbas en pozo.

Materiales arqueológicos: cerámica y vidrio.

Datación provisional: Bronce (?), Helenístico, Romano, Bizantino, Islámico.

Otras prospecciones: Conder, Kitchener (1882: 241), Kallai (1972: 165), Zertal (2008: nº 176).

- *Tell Miska*.

Situación geográfica: ribera occidental.

Distancia a Tell el-Far'a: 7,6 km.

Dimensiones aproximadas: 100 por 100 m.

Estado de conservación: hay un pequeño cementerio islámico. Parte del yacimiento está inaccesible por estar delimitado por una valla.

Vestigios visibles: muros de piedra de aparejo pequeño y grande.

Materiales arqueológicos: cerámica y vidrio.

Datación provisional: Calcolítico, Bronce Antiguo y Reciente, Hierro, Romano-Bizantino.

Otras prospecciones: Guérin (1874: 262), Conder, Kitchener (1882: 246), Glueck (1951: 320 y 422), Kappas (1966: 81), Kallai (1972: 164), Zertal (2008: n° 171).

4. *Discusión*

La segunda campaña de excavación en Tell el-Far'a ha permitido identificar en los sondeos A, A1 y A2 tres fases constructivas pertenecientes a la Edad del Hierro:

Fase TEF 2017-18	Unidades Constructivas (UC)	Fase (Chambon, 1984)
1	100, 101, 102, 109, 110	VIIe
2	108, 115	VIIId
3	103, 104, 105, 106, 107, 111, 112, 113, 114, 116, 117, 118	VIIb

Tabla 4. Fases identificadas en la campaña de 2018 y su correspondencia con las establecidas por las excavaciones francesas en Tell el-Far'a (1946-1960).

Las unidades estratigráficas correspondientes a la fase 1 han aportado abundante cerámica, entre la que destaca la presencia de cuatro fragmentos de vasos carenados de paredes finas (fig. 7). Se trata, con toda seguridad, de una forma inspirada en prototipos de metal y se interpreta como un objeto de lujo o de cierta importancia usado como vaso para beber posiblemente vino.²⁰ Este tipo de bol es característico de Asiria, aunque conoció una extensa difusión geográfica en el área que va desde el valle del Tigris hasta Palestina durante los siglos VIII-VII a.C. Su presencia en distintos contextos geográficos es fruto de su exportación, aunque no podemos descartar la existencia de imitaciones y de producción local.²¹ Está bien documentado en la fase VIIe de Tell el-Far'a²² y en otros yacimientos de la región en el período del Hierro IIC.²³ Su presencia en Tell el-Far'a hay que vincularla a la toma de Samaría por los ejércitos neosirios de los reyes Salmanasar V y Sargón II ca. 722-720 a.C.²⁴

De la fase 2 se conoce de forma deficiente, ya que tan solo se conservan los restos de dos muros, que están muy afectados por las construcciones de la fase 1. Directamente sobre el suelo de piedra UC.114, correspondiente a la fase 3, aparecieron varios vasos cerámicos completos o

20. Jamieson 2012: 73.

21. Anastasio 2010: 41 y 107. Está previsto la realización de análisis mineralógicos de muestras de los fragmentos hallados en Tell el-Far'a para establecer si se trata de importaciones o de producciones locales.

22. Chambon 1984: 228-229.

23. Tappy 2015a: 344; Stern 2015: 534.

24. Briend y Seux 2011: 105 y 109.

prácticamente. Entre ellos destaca un característico jarrito negro (*black juglet*) con cuello cilíndrico, cuerpo globular, un asa y un pequeño apéndice en la base (fig. 8 y 9). Se considera que este tipo de vasos aparece en la región levantina en el siglo IX a.C.²⁵ En Tell el-Far'a ya había sido documentado en la fase VIIIb²⁶ y en Megiddo aparece en los estratos VB y VA-IV (Hierro IIA).²⁷

5. Conclusión

Hasta la fecha la cronología absoluta de la ocupación correspondiente a la Edad del Hierro en Tell el-Far'a se ha establecido a partir del estudio tipológico de la cerámica. Chambon ha comparado la cerámica de la fase VIIIb con la de Megiddo VA-IVB.²⁸ Por su parte, Finkelstein, y Herzog y Singer-Avitz²⁹ consideran que el período VIIIb de Far'a proporcionó un conjunto de cerámica perteneciente al Hierro IIA (fase final), que estos investigadores fechan en el siglo IX a.C. (ca. 870-840 a.C. y ca. 900-840/830 a.C.). Sin embargo, las tres dataciones de radiocarbono de la fase 3 de Tell el-Far'a (= VIIIb), realizadas en la campaña de 2018, ofrecen unas fechas absolutas más antiguas: a situar preferentemente en el siglo X a.C. En este momento de la investigación es oportuno reconocer que, para poder llegar a dataciones más seguras y precisas, será necesario obtener nuevas muestras en las próximas campañas arqueológicas.

En cuanto a la prospección de superficie en el Wadi el-Far'a, de los seis yacimientos visitados solo dos han proporcionado cerámica correspondiente a las fases arqueológicas documentadas en Tell el-Far'a. Se trata de Tell Miska (Calcolítico, Bronce Antiguo, Bronce Reciente e Hierro) y de Khirbet Sumeit B (Calcolítico y Bronce Medio), situados a 7,6 y 1,9 km respectivamente.

6. Bibliografía

- Abdulfattah, K., De Vries, B. eds. (2005): *Wadi el-Far'a project report: an environment assessment of the Wadi el-Far'a watershed*, Bergen.
- Albright, W.F. (1931): "The site of Tirzah and the Topography of Western Manasseh", *Journal of the Palestine Oriental Society* 11: 241-251.
- Anastasio, S. (2010): *Atlas of the Assyrian pottery of the Iron Age*, Brepols.
- Briend, J., Seux, M. J. (2011): *Textes du Proche-Orient ancien et histoire d'Israël*, París.
- Bronk Ramsey, C., Lee, S. (2013): "Recent and planned developments of the program oxCal. *Radiocarbon* 55(2-3): 720-730. .
- Chambon, A. (1984): *Tell el-Far'ah 1. L'Âge du Fer*, Paris.
- Conder, C.R., Kitchener, H.H. (1882): *The Survey of Western Palestine. Vol. II, Samaria*, Londres.
- De Vaux, R. (1956): "The excavations at Tell el-Far'ah and the site of ancient Tirzah", *Palestine Exploration Quarterly* 88: 125-140.
- De Vaux, R. (1976): "El-Far'a, tell, North", in Avi-Yonah, M. ed., *Encyclopedia of Archaeological Excavations in the Holy Land*, vol. 2, Jerusalem, 395-404.

25. Tappy 2015b: 194.

26. Chambon 1984: 202-204.

27. Finkelstein *et al.* eds. 2000: 289 y 297; Finkelstein *et al.* eds. 2006: 312; Finkelstein *et al.* eds. 2013: 705-706 y 803.

28. Chambon 1984: 12.

29. Finkelstein 2012: 334 y 338; Herzog y Singer-Avitz 2006: 175-176.

- De Vaux, R. *et al.* (1993): “Far’ah, Tell el- (North)”, in Stern, E. ed., *The new encyclopedia of archaeological excavations in the Holy Land*, vol.2, Jerusalem, 433-440.
- Finkelstein I. (1996): “The archaeology of the United Monarchy: an alternative view”, *Levant* 28:177–87.
- Finkelstein, I. (2012): “Tell el-Far’ah (Tirzah) and the early days of the Northern Kingdom”, *Revue Biblique* 119: 331-346.
- Finkelstein, I. *et al.* eds. (2000): *Megiddo III. The 1992-1996 seasons*, Tel Aviv.
- Finkelstein, I. *et al.* eds. (2006): *Megiddo IV. The 1998-2002 seasons*, Tel Aviv.
- Finkelstein, I. *et al.* eds. (2013): *Megiddo V. The 2004-2008 seasons*, Winona Lake.
- Gilboa, A., Sharon, I. (2001): “Early Iron Age radiometric dates from Tel Dor: preliminary implications for Phoenicia and beyond”, *Radiocarbon* 43(3): 1343-1352.
- Gilboa, A., Sharon, I. (2003): “An archaeological contribution to the Early Iron Age chronological debate: alternative chronologies for Phoenicia and their effects on the Levant, Cyprus and Greece”, *Bulletin of the American Schools of Oriental Research* 332: 7-80.
- Glueck, N. (1951): *Explorations in Eastern Palestine, IV. Part I: Text*, New Haven. Guérin, V. (1874): *Description géographique, historique et archéologique de la Palestine, tome II: Samarie*, París.
- Herzog, Z., Singer-Avitz, L. (2006): “Sub-dividing the Iron Age IIA in Northern Israel: a suggested solution to the chronological debate”, *Tel Aviv* 33: 163-195
- Jamieson, A. (2012): *Tell Ahmar III. Neo-Assyrian pottery from Area C*, Leuven-Paris-Walpole
- Kallai, Z. (1972): “The Land of Benjamin and Mt. Ephraim”, en: Kochavi, M. ed. *Judaea, Samaria ant the Golan. Archaeological Survey 1967-1968*, Jerusalén, 153-241 (en hebreo).
- Kappus, S. (1966): “Oberflächenuntersuchungen im Mittlren Wadi Far’ah”, *ZDPV* 82: 74-82.
- Knierim, R. (1969): “Oberflächenuntersuchungen im Wadi Far’a”, *ZDPV* 65: 51-62.
- Kochavi, M. ed. (1972): *Judaea, Samaria ant the Golan. Archaeological Survey 1967-1968*, Jerusalén (en hebreo).
- Mazar, A. (2005): “The Debate over the Chronology of the Iron Age in the Southern Levant”, en Levy, T.E., Higham, T. eds. *The Bible and Radiocarbon Dating: Archaeology, Text and Science*, London, 15-30.
- Mazar, A., Bronk Ramsey, C. (2008): “14C dates and the Iron Age chronology of Israel: a response”, *Radiocarbon* 50: 159-180.
- Montero Fenollós, J.L., Caramelo, F., Yasin, J., Dias, S. (2019): “Nuevo proyecto arqueológico en Tell el-Far’a, Palestina. Informe preliminar de la primera campaña (2017)”, *Aula Orientalis* 37/1: 105-119.
- Reimer, P.J. *et al.* (2013) “IntCal13 and Marine13 radiocarbon age calibration curves 0–50,000 years cal BP”, *Radiocarbon* 55: 1869-1887.
- Sharkas, O. *et al.* (2005): “Natural landscapes”, en Abdulfattah, K. y De Vries, B. eds. *Wadi el-Far’a project report: an environment assessment of the Wadi el-Far’a watershed*, Bergen, 14-49.
- Stern, E. (2015): “Iron Age IIC Assyrian-Type pottery”, en Gitin, S. ed., *The ancient pottery of Israel and its neighbors from the Iron Age through the Hellenistic Period*, Jerusalén, 533-553.
- Tappy, R.E. (2015a): “Iron Age IIC: Samaria”, en Gitin, S. ed., *The ancient pottery of Israel and its neighbors from the Iron Age through the Hellenistic Period*, Jerusalén, 327-344.

Tappy, R.E. (2015b): “Iron Age IIA-B: Samaria”, en Gitin, S. ed., *The ancient pottery of Israel and its neighbors from the Iron Age through the Hellenistic Period*, Jerusalén, 189-211.

Zertal, A. (2008): *The Manasseh Hill Country Survey. Volume II: The Eastern Valleys and Fringes of the Desert*, Leiden-Boston.



Fig. 1. Ubicación del sondeo A en el sector occidental de Tell el-Far'a.



Fig. 2. Vista aérea de la situación del sondeo A.



Fig. 3. Perfil occidental del sondeo A.



Fig. 4. Plano de los vestigios arquitectónicos de las tres fases del Hierro II, atestiguados en el sondeo A.



Fig. 5. Vista general del sondeo A.



Fig. 6. Mapa de situación de Tell el-Far'a y del Wadi el-Far'a.

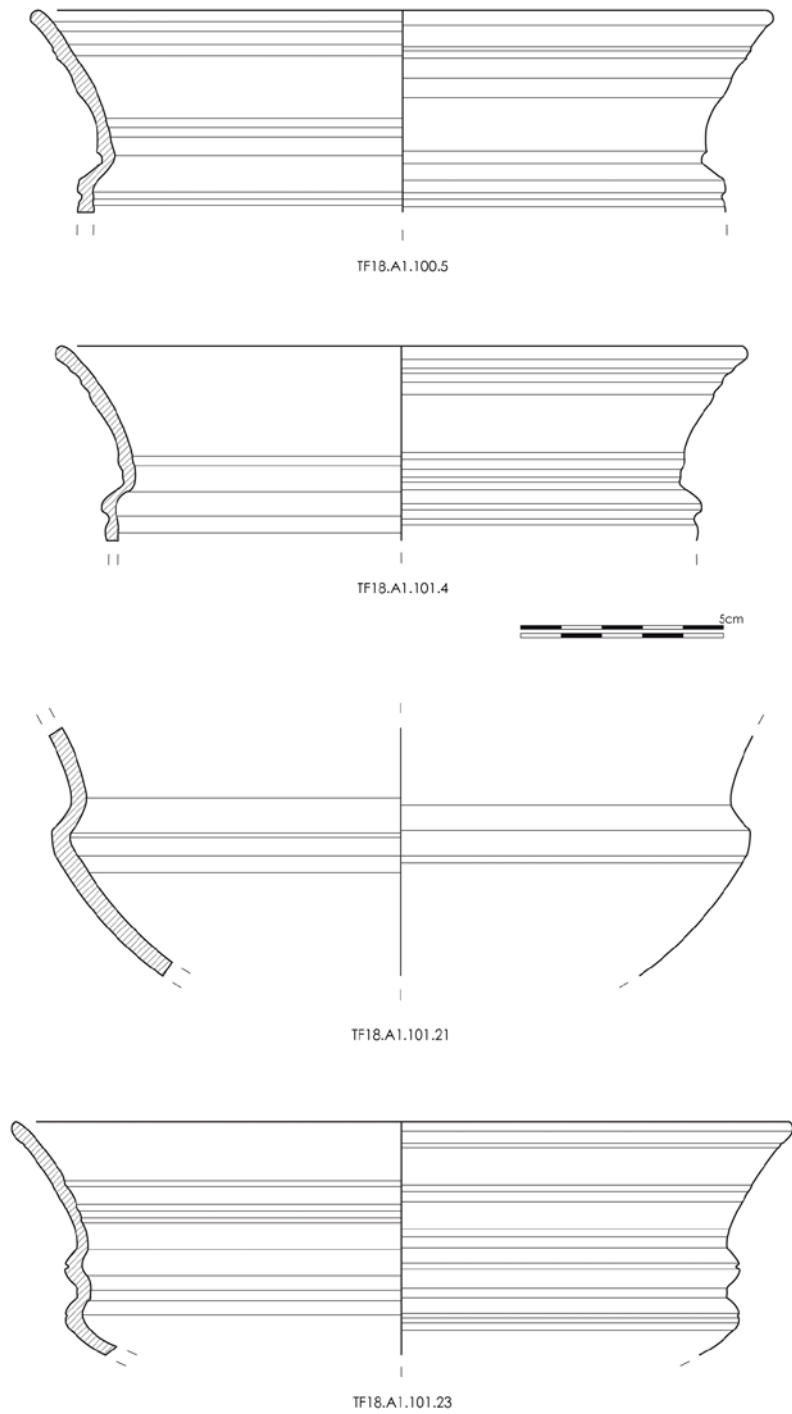


Fig. 7. Fragmentos de vasos carenados de tipo neosirio.

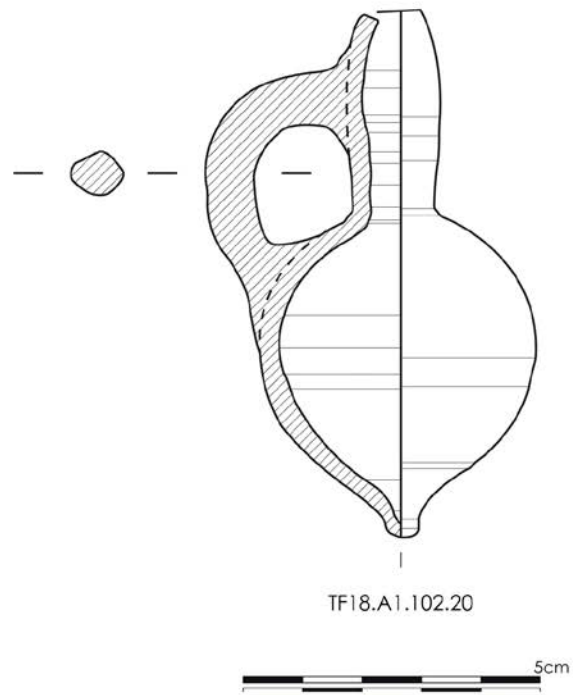


Fig. 8. Jarrito negro o *black juglet*.